

Universidade Federal do Paraná

Programa de Pós-Graduação em Geologia

GEOL7048: Tópicos Especiais em Geologia Exploratória II

Métodos semiquantitativos

Saulo P. Oliveira

Departamento de Matemática, Universidade Federal do Paraná



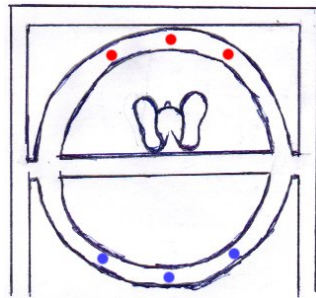
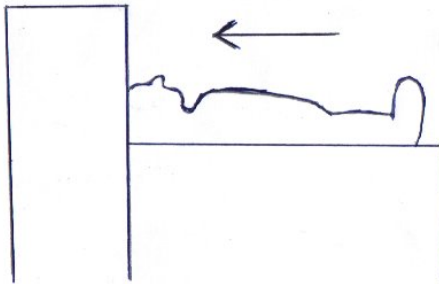
Aula 21

- Aplicação: tomografia sísmica
- SVD e regularização
- Exemplo
- Métodos de gradientes conjugados

Motivação



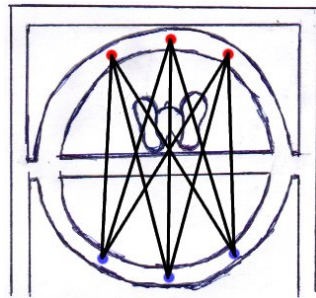
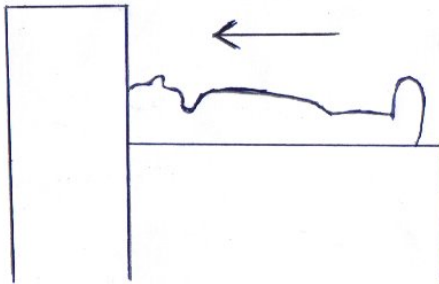
Tomografia em medicina:



Motivação



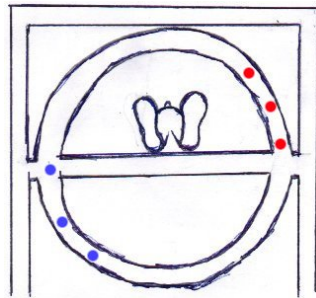
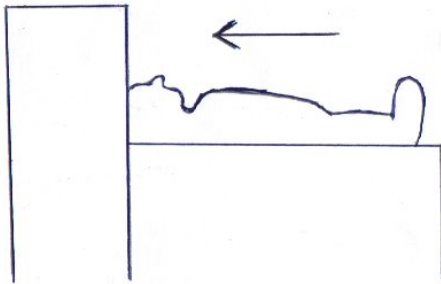
Tomografia em medicina:



Motivação



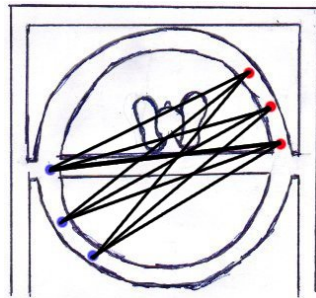
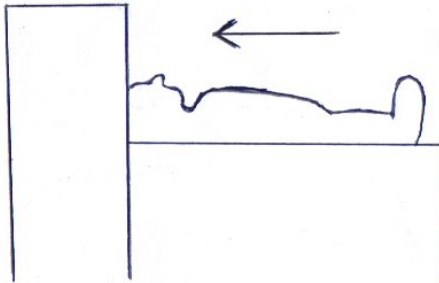
Tomografia em medicina:



Motivação



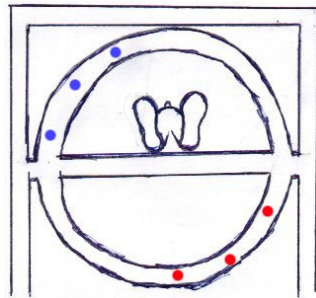
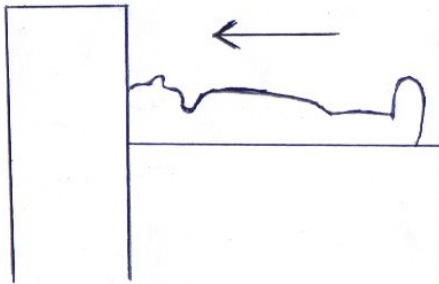
Tomografia em medicina:



Motivação



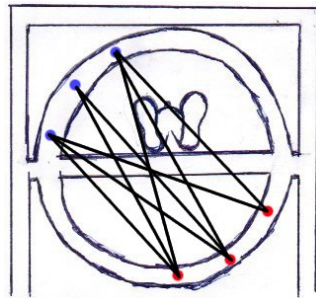
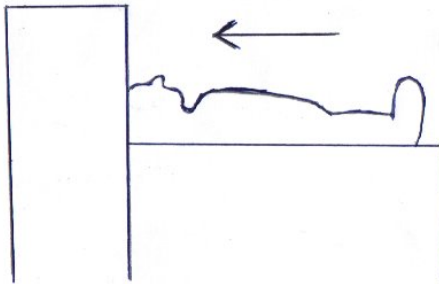
Tomografia em medicina:



Motivação



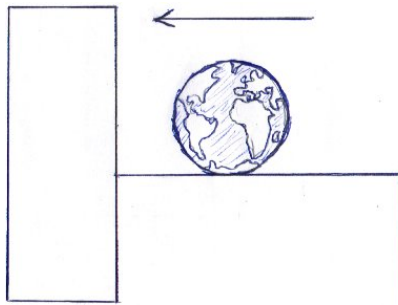
Tomografia em medicina:



Motivação



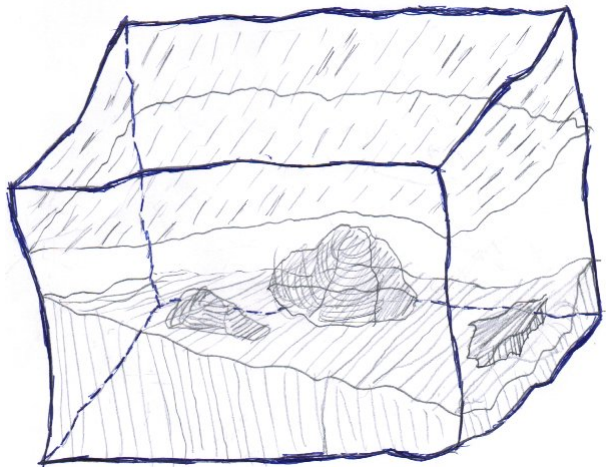
Gostariámos de fazer o mesmo para visualizar o interior da Terra..



Motivação



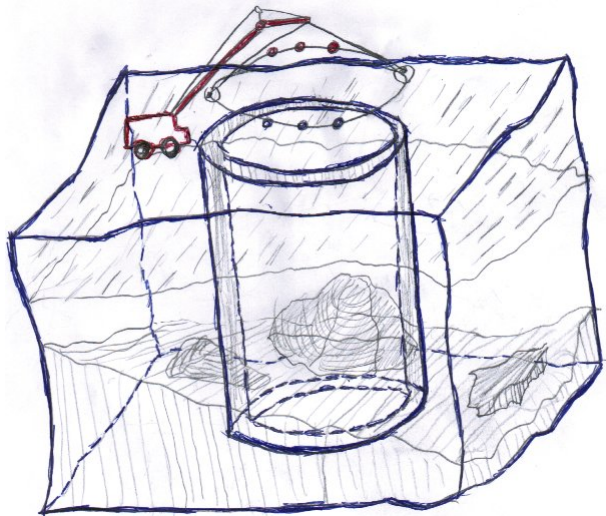
E se o tomógrafo entrasse na Terra ?



Motivação



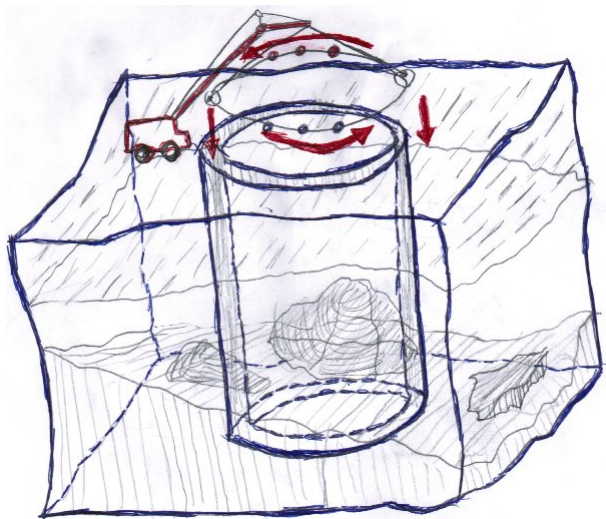
E se o tomógrafo entrasse na Terra ?



Motivação



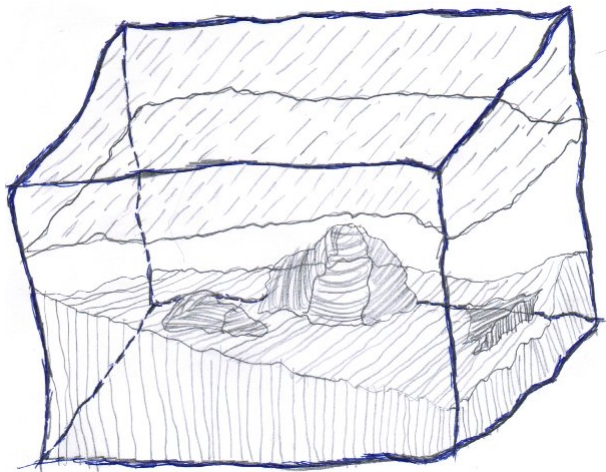
E se o tomógrafo entrasse na Terra ?



Motivação



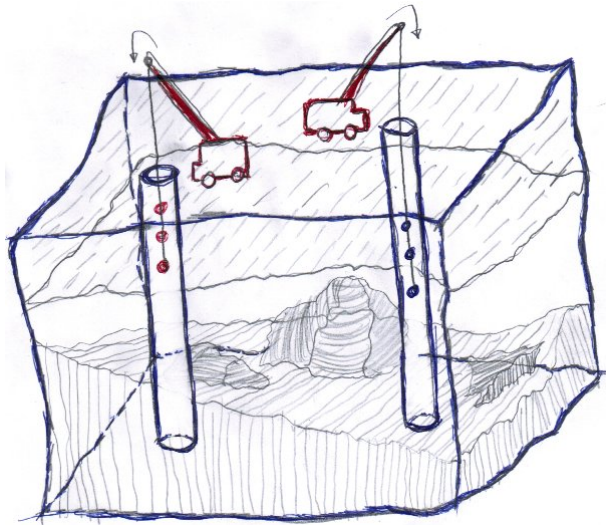
Uma situação mais próxima à realidade:



Motivação



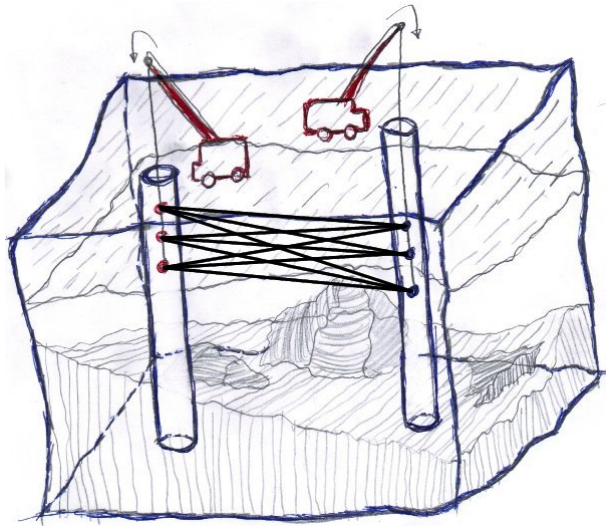
Uma situação mais próxima à realidade:



Motivação



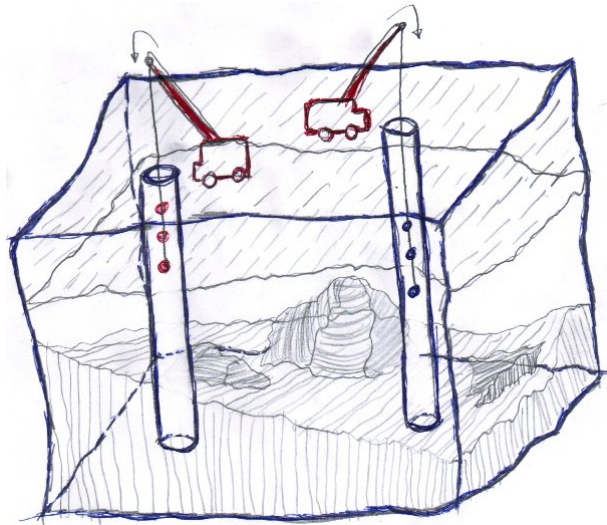
Uma situação mais próxima à realidade:



Motivação



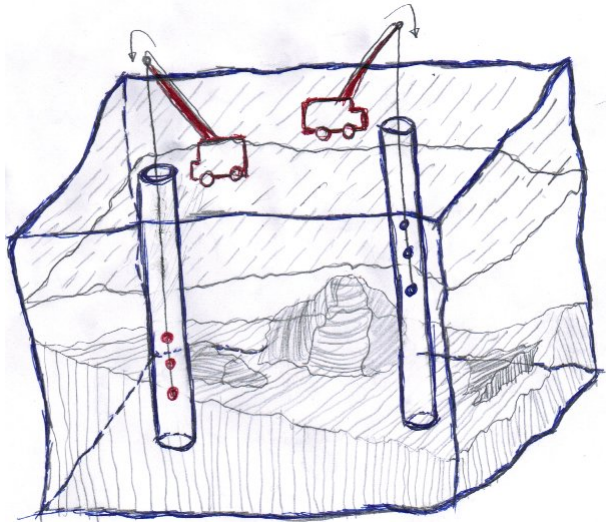
Uma situação mais próxima à realidade:



Motivação



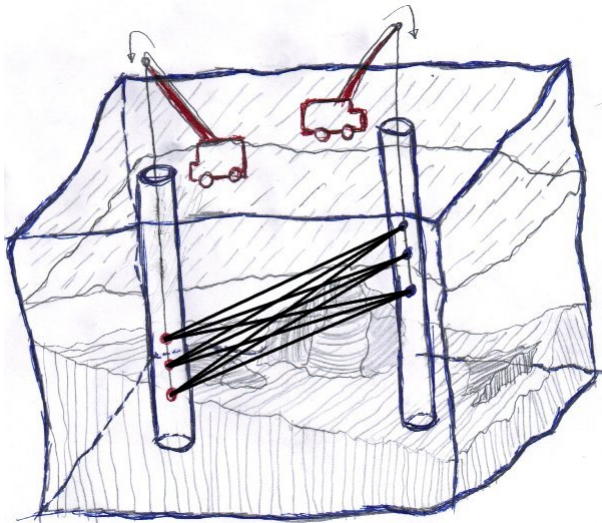
Uma situação mais próxima à realidade:



Motivação



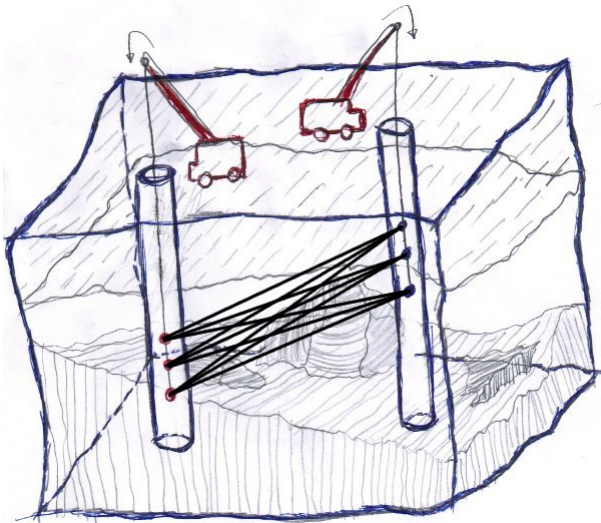
Uma situação mais próxima à realidade:



Formulação do modelo



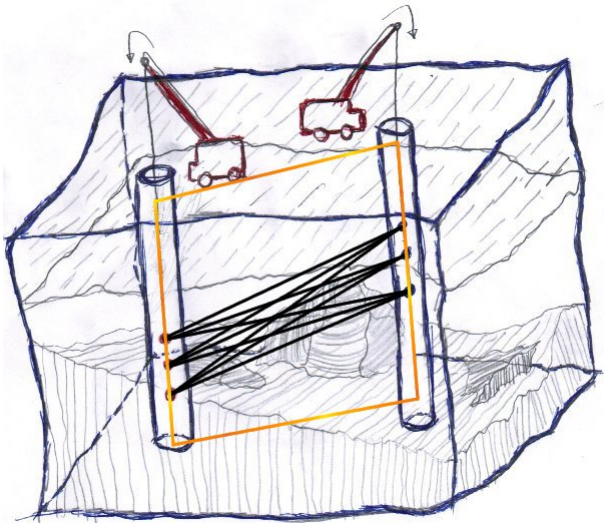
Vamos restringir o domínio:



Formulação do modelo



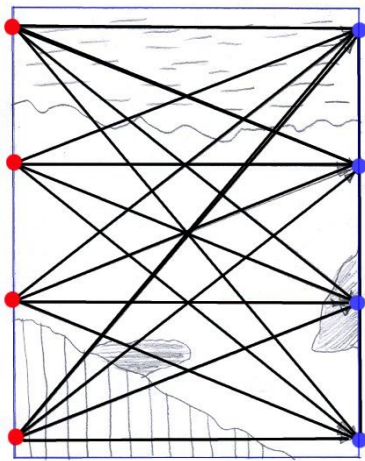
Vamos restringir o domínio:



Formulação do modelo



Vamos restringir o domínio:



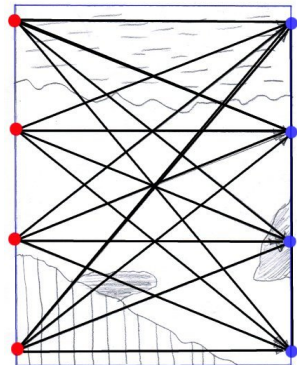
Formulação do modelo



Tomografia sísmica de tempo de trânsito:

- Em vez de raios X, as **fontes** geram ondas sísmicas;
- Obtemos dos **receptores** o instante de chegada das ondas;

Simplificação: percurso das ondas na forma de raios retos



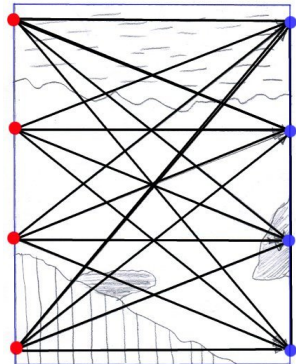
Formulação do modelo



Tomografia sísmica de tempo de trânsito:

- Em vez de raios X, as **fontes** geram ondas sísmicas;
- Obtemos dos **receptores** o instante de chegada das ondas;

Simplificação: percurso das ondas na forma de raios retos



Tempos de trânsito:

Identificamos cada material no ponto (x, y) por meio da velocidade $v(x, y)$ com que uma onda sísmica se propaga neste ponto.

$$v = \frac{\Delta x}{\Delta t}$$

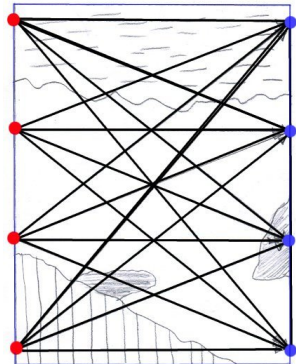
Formulação do modelo



Tomografia sísmica de tempo de trânsito:

- Em vez de raios X, as **fontes** geram ondas sísmicas;
- Obtemos dos **receptores** o instante de chegada das ondas;

Simplificação: percurso das ondas na forma de raios retos



Tempos de trânsito:

Identificamos cada material no ponto (x, y) por meio da velocidade $v(x, y)$ com que uma onda sísmica se propaga neste ponto.

$$\Delta t = \frac{\Delta x}{v}$$

Formulação do modelo



Tomografia sísmica de tempo de trânsito:

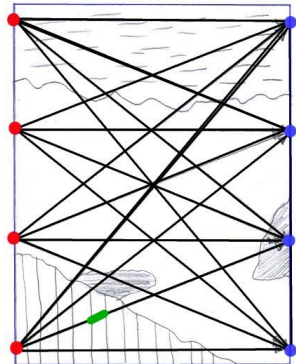
- Em vez de raios X, as **fontes** geram ondas sísmicas;
- Obtemos dos **receptores** o instante de chegada das ondas;

Simplificação: percurso das ondas na forma de raios retos

Tempos de trânsito:

Identificamos cada material no ponto (x, y) por meio da velocidade $v(x, y)$ com que uma onda sísmica se propaga neste ponto.

$$\Delta t_j = \frac{\Delta x_j}{v_j}$$



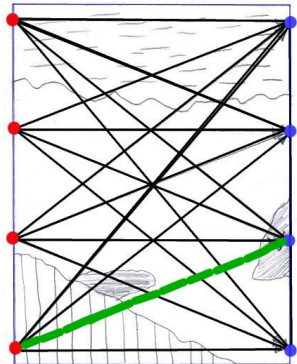
Formulação do modelo



Tomografia sísmica de tempo de trânsito:

- Em vez de raios X, as **fontes** geram ondas sísmicas;
- Obtemos dos **receptores** o instante de chegada das ondas;

Simplificação: percurso das ondas na forma de raios retos



Tempos de trânsito:

Identificamos cada material no ponto (x, y) por meio da velocidade $v(x, y)$ com que uma onda sísmica se propaga neste ponto.

$$t_i = \sum_j \frac{\Delta x_j}{v_j}$$

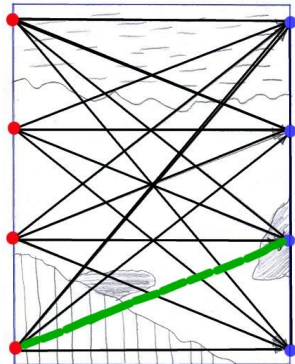
Formulação do modelo



Tomografia sísmica de tempo de trânsito:

- Em vez de raios X, as **fontes** geram ondas sísmicas;
- Obtemos dos **receptores** o instante de chegada das ondas;

Simplificação: percurso das ondas na forma de raios retos



Tempos de trânsito:

Identificamos cada material no ponto (x, y) por meio da velocidade $v(x, y)$ com que uma onda sísmica se propaga neste ponto.

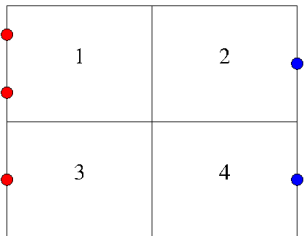
$$t_i = \sum_j \Delta x_j s_j, \quad s_j = \frac{1}{v_j} : \text{vagarosidade}$$

Formulação do modelo



Geometria: Domínio retangular dividido em blocos

- $n = n_x \times n_y$ blocos retangulares;
- m_f fontes e m_r receptores ($m = m_f \times m_r$ raios retos);

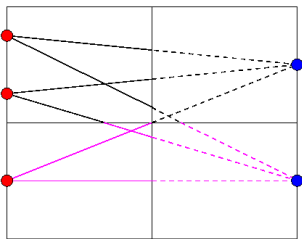


Formulação do modelo



Geometria: Domínio retangular dividido em blocos

- $n = n_x \times n_y$ blocos retangulares;
- m_f fontes e m_r receptores ($m = m_f \times m_r$ raios retos);



Sejam

- s_j : vagarosidade do j -ésimo bloco;
- t_i : tempo de trânsito do i -ésimo raio;
- G_{ij} : distância que o i -ésimo raio transita no j -ésimo bloco.

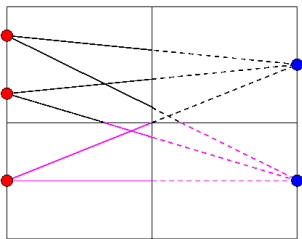
$$t_i = \sum_{j=1}^n \Delta x_j s_j$$

Formulação do modelo



Geometria: Domínio retangular dividido em blocos

- $n = n_x \times n_y$ blocos retangulares;
- m_f fontes e m_r receptores ($m = m_f \times m_r$ raios retos);



Sejam

- s_j : vagarosidade do j -ésimo bloco;
- t_i : tempo de trânsito do i -ésimo raio;
- G_{ij} : distância que o i -ésimo raio transita no j -ésimo bloco.

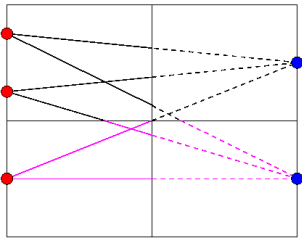
$$t_i = \sum_{j=1}^n G_{ij} s_j$$

Formulação do modelo



Geometria: Domínio retangular dividido em blocos

- $n = n_x \times n_y$ blocos retangulares;
- m_f fontes e m_r receptores ($m = m_f \times m_r$ raios retos);



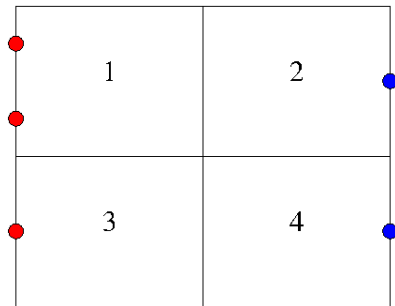
Sejam

- s_j : vagarosidade do j -ésimo bloco;
- t_i : tempo de trânsito do i -ésimo raio;
- G_{ij} : distância que o i -ésimo raio transita no j -ésimo bloco.

$$t_i = \sum_{j=1}^n G_{ij} s_j$$

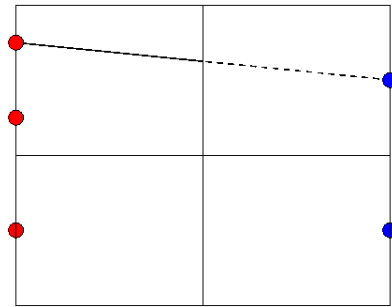
Nosso problema se reduz ao sistema linear $Gs = t$

Construção da matriz tomográfica



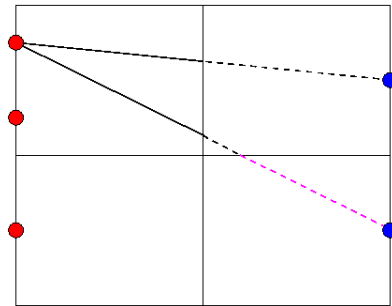
$$G = \begin{bmatrix} * & * & * & * \\ * & * & * & * \\ * & * & * & * \\ * & * & * & * \\ * & * & * & * \\ * & * & * & * \end{bmatrix}$$

Construção da matriz tomográfica



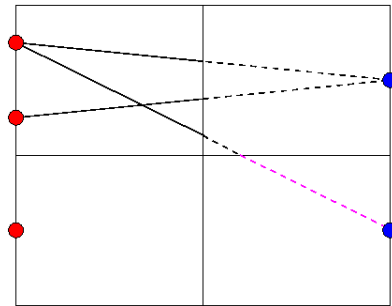
$$G = \begin{bmatrix} g_{11} & g_{12} & 0 & 0 \\ * & * & * & * \\ * & * & * & * \\ * & * & * & * \\ * & * & * & * \\ * & * & * & * \end{bmatrix}$$

Construção da matriz tomográfica



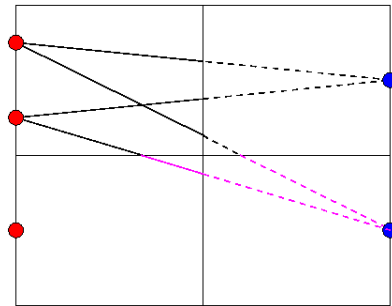
$$G = \begin{bmatrix} g_{11} & g_{12} & 0 & 0 \\ g_{21} & g_{22} & 0 & g_{24} \\ * & * & * & * \\ * & * & * & * \\ * & * & * & * \\ * & * & * & * \end{bmatrix}$$

Construção da matriz tomográfica



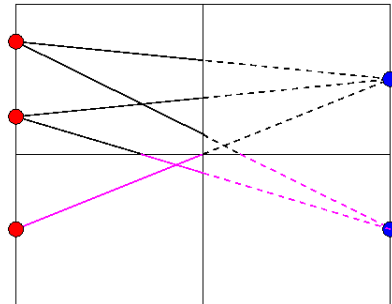
$$G = \begin{bmatrix} g_{11} & g_{12} & 0 & 0 \\ g_{21} & g_{22} & 0 & g_{24} \\ g_{31} & g_{32} & 0 & 0 \\ * & * & * & * \\ * & * & * & * \\ * & * & * & * \end{bmatrix}$$

Construção da matriz tomográfica



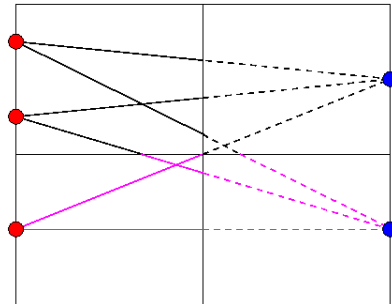
$$G = \begin{bmatrix} g_{11} & g_{12} & 0 & 0 \\ g_{21} & g_{22} & 0 & g_{24} \\ g_{31} & g_{32} & 0 & 0 \\ g_{41} & 0 & g_{43} & g_{44} \\ * & * & * & * \\ * & * & * & * \end{bmatrix}$$

Construção da matriz tomográfica



$$G = \begin{bmatrix} g_{11} & g_{12} & 0 & 0 \\ g_{21} & g_{22} & 0 & g_{24} \\ g_{31} & g_{32} & 0 & 0 \\ g_{41} & 0 & g_{43} & g_{44} \\ 0 & g_{52} & g_{53} & 0 \\ * & * & * & * \end{bmatrix}$$

Construção da matriz tomográfica



$$G = \begin{bmatrix} g_{11} & g_{12} & 0 & 0 \\ g_{21} & g_{22} & 0 & g_{24} \\ g_{31} & g_{32} & 0 & 0 \\ g_{41} & 0 & g_{43} & g_{44} \\ 0 & g_{52} & g_{53} & 0 \\ 0 & 0 & g_{63} & g_{64} \end{bmatrix}$$

Sobre a matriz G

Em geral, a matriz tomográfica é **retangular**

Sobre a matriz G

Em geral, a matriz tomográfica é **retangular**

Buscamos a solução de quadrados mínimos:

Sobre a matriz G

Em geral, a matriz tomográfica é **retangular**

Buscamos a solução de quadrados mínimos:

$$\mathbf{s}^* = \min_{\mathbf{s} \in \mathbb{R}^n} \|\mathbf{G}\mathbf{s} - \mathbf{t}\|, \quad \|\mathbf{x}\| = \sqrt{\mathbf{x}^T \mathbf{x}}$$

$$\mathbf{G}^T \mathbf{G} \mathbf{s}^* = \mathbf{G}^T \mathbf{t} \quad (\text{equações normais})$$

Sobre a matriz G

Em geral, a matriz tomográfica é **retangular**

Buscamos a solução de quadrados mínimos:

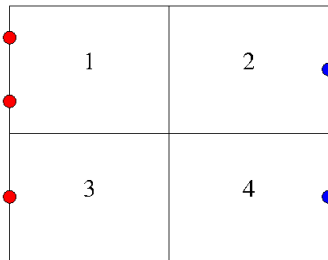
$$G^T G s^* = G^T t \quad (\text{equações normais})$$

Mesmo este sistema pode não ter solução..

Sobre a matriz G



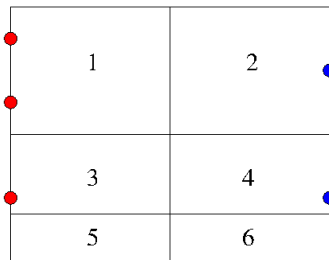
Outra divisão em blocos:



Sobre a matriz G

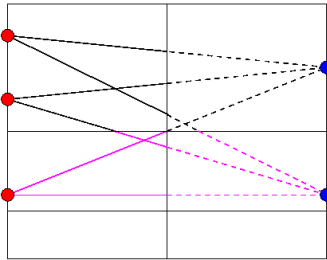


Outra divisão em blocos:



Sobre a matriz G

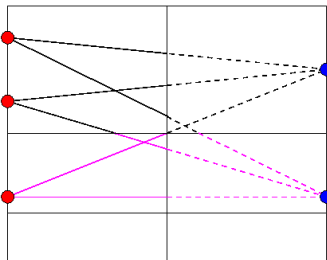
Outra divisão em blocos:



$$G = \begin{bmatrix} g_{11} & g_{12} & 0 & 0 & 0 & 0 \\ g_{21} & g_{22} & 0 & g_{24} & 0 & 0 \\ g_{31} & g_{32} & 0 & 0 & 0 & 0 \\ g_{41} & 0 & g_{43} & g_{44} & 0 & 0 \\ 0 & g_{52} & g_{53} & 0 & 0 & 0 \\ 0 & 0 & g_{63} & g_{64} & 0 & 0 \end{bmatrix}$$

Sobre a matriz G

Outra divisão em blocos:



$$G^T G = \begin{bmatrix} * & * & * & * & 0 & 0 \\ * & * & * & * & 0 & 0 \\ * & * & * & * & 0 & 0 \\ * & * & * & * & 0 & 0 \\ 0 & 0 & 0 & 0 & 0 & 0 \\ 0 & 0 & 0 & 0 & 0 & 0 \end{bmatrix}$$

Decomposição em valores singulares

Decomposição em valores singulares (SVD) da matriz $G = G_{m \times n}$:

$$G = U S \bar{V}^T, \quad \bar{U}^T U = \bar{V}^T V = I, \quad S = \begin{bmatrix} \sigma_1 & 0 & 0 & \dots & 0 \\ 0 & \sigma_2 & 0 & \dots & 0 \\ \vdots & & \ddots & & \vdots \\ 0 & & \dots & & \sigma_n \end{bmatrix},$$

$\sigma_1 \geq \sigma_2 \geq \dots \geq \sigma_n \geq 0$: valores singulares.

Decomposição em valores singulares

Decomposição em valores singulares (SVD) da matriz $G = G_{m \times n}$:

$$G = US\bar{V}^T, \quad \bar{U}^T U = \bar{V}^T V = I, \quad S = \begin{bmatrix} \sigma_1 & 0 & 0 & \dots & 0 \\ 0 & \sigma_2 & 0 & \dots & 0 \\ \vdots & & \ddots & & \vdots \\ 0 & & \dots & & \sigma_n \end{bmatrix},$$

$\sigma_1 \geq \sigma_2 \geq \dots \geq \sigma_n \geq 0$: valores singulares.

Vamos utilizar a SVD para resolver as equações normais:

$$G^T G s^* = G^T t$$

Decomposição em valores singulares

Decomposição em valores singulares (SVD) da matriz $G = G_{m \times n}$:

$$G = US\bar{V}^T, \quad \bar{U}^T U = \bar{V}^T V = I, \quad S = \begin{bmatrix} \sigma_1 & 0 & 0 & \dots & 0 \\ 0 & \sigma_2 & 0 & \dots & 0 \\ \vdots & & \ddots & & \vdots \\ 0 & & \dots & & \sigma_n \end{bmatrix},$$

$\sigma_1 \geq \sigma_2 \geq \dots \geq \sigma_n \geq 0$: valores singulares.

Vamos utilizar a SVD para resolver as equações normais:

$$(US\bar{V}^T)^T (US\bar{V}^T) \mathbf{s}^* = (US\bar{V}^T)^T \mathbf{t}$$

Decomposição em valores singulares

Decomposição em valores singulares (SVD) da matriz $G = G_{m \times n}$:

$$G = US\bar{V}^T, \quad \bar{U}^T U = \bar{V}^T V = I, \quad S = \begin{bmatrix} \sigma_1 & 0 & 0 & \dots & 0 \\ 0 & \sigma_2 & 0 & \dots & 0 \\ \vdots & & \ddots & & \vdots \\ 0 & & \dots & & \sigma_n \end{bmatrix},$$

$\sigma_1 \geq \sigma_2 \geq \dots \geq \sigma_n \geq 0$: valores singulares.

Vamos utilizar a SVD para resolver as equações normais:

$$VS\bar{U}^T US\bar{V}^T s^* = VS\bar{U}^T t$$

Decomposição em valores singulares

Decomposição em valores singulares (SVD) da matriz $G = G_{m \times n}$:

$$G = US\bar{V}^T, \quad \bar{U}^T U = \bar{V}^T V = I, \quad S = \begin{bmatrix} \sigma_1 & 0 & 0 & \dots & 0 \\ 0 & \sigma_2 & 0 & \dots & 0 \\ \vdots & & \ddots & & \vdots \\ 0 & & \dots & & \sigma_n \end{bmatrix},$$

$\sigma_1 \geq \sigma_2 \geq \dots \geq \sigma_n \geq 0$: valores singulares.

Vamos utilizar a SVD para resolver as equações normais:

$$VS\bar{U}^T\bar{U}SV^Ts^* = VS\bar{U}^Tt$$

Decomposição em valores singulares

Decomposição em valores singulares (SVD) da matriz $G = G_{m \times n}$:

$$G = US\bar{V}^T, \quad \bar{U}^T U = \bar{V}^T V = I, \quad S = \begin{bmatrix} \sigma_1 & 0 & 0 & \dots & 0 \\ 0 & \sigma_2 & 0 & \dots & 0 \\ \vdots & & \ddots & & \vdots \\ 0 & & \dots & & \sigma_n \end{bmatrix},$$

$\sigma_1 \geq \sigma_2 \geq \dots \geq \sigma_n \geq 0$: valores singulares.

Vamos utilizar a SVD para resolver as equações normais:

$$VS\cancel{I}S\bar{V}^T s^* = VS\bar{U}^T t$$

Decomposição em valores singulares

Decomposição em valores singulares (SVD) da matriz $G = G_{m \times n}$:

$$G = US\bar{V}^T, \quad \bar{U}^T U = \bar{V}^T V = I, \quad S = \begin{bmatrix} \sigma_1 & 0 & 0 & \dots & 0 \\ 0 & \sigma_2 & 0 & \dots & 0 \\ \vdots & & \ddots & & \vdots \\ 0 & & \dots & & \sigma_n \end{bmatrix},$$

$\sigma_1 \geq \sigma_2 \geq \dots \geq \sigma_n \geq 0$: valores singulares.

Vamos utilizar a SVD para resolver as equações normais:

$$VS^2\bar{V}^T s^* = VS\bar{U}^T t$$

Decomposição em valores singulares

Decomposição em valores singulares (SVD) da matriz $G = G_{m \times n}$:

$$G = US\bar{V}^T, \quad \bar{U}^T U = \bar{V}^T V = I, \quad S = \begin{bmatrix} \sigma_1 & 0 & 0 & \dots & 0 \\ 0 & \sigma_2 & 0 & \dots & 0 \\ \vdots & & \ddots & & \vdots \\ 0 & & \dots & & \sigma_n \end{bmatrix},$$

$\sigma_1 \geq \sigma_2 \geq \dots \geq \sigma_n \geq 0$: valores singulares.

Vamos utilizar a SVD para resolver as equações normais:

$$\bar{V}^T V S^2 \bar{V}^T s^* = \bar{V}^T V S \bar{U}^T t$$

Decomposição em valores singulares

Decomposição em valores singulares (SVD) da matriz $G = G_{m \times n}$:

$$G = US\bar{V}^T, \quad \bar{U}^T U = \bar{V}^T V = I, \quad S = \begin{bmatrix} \sigma_1 & 0 & 0 & \dots & 0 \\ 0 & \sigma_2 & 0 & \dots & 0 \\ \vdots & & \ddots & & \vdots \\ 0 & & \dots & & \sigma_n \end{bmatrix},$$

$\sigma_1 \geq \sigma_2 \geq \dots \geq \sigma_n \geq 0$: valores singulares.

Vamos utilizar a SVD para resolver as equações normais:

$$S^2 \bar{V}^T s^* = S \bar{U}^T t$$

Decomposição em valores singulares

Decomposição em valores singulares (SVD) da matriz $G = G_{m \times n}$:

$$G = US\bar{V}^T, \quad \bar{U}^T U = \bar{V}^T V = I, \quad S = \begin{bmatrix} \sigma_1 & 0 & 0 & \dots & 0 \\ 0 & \sigma_2 & 0 & \dots & 0 \\ \vdots & & \ddots & & \vdots \\ 0 & & \dots & & \sigma_n \end{bmatrix},$$

$\sigma_1 \geq \sigma_2 \geq \dots \geq \sigma_n \geq 0$: valores singulares.

Vamos utilizar a SVD para resolver as equações normais:

$$S^2 \bar{V}^T \mathbf{s}^* = S \bar{U}^T \mathbf{t}$$

Se S for inversível (ou seja, $\sigma_1, \dots, \sigma_n > 0$),

$$\bar{V}^T \mathbf{s}^* = S^{-1} \bar{U}^T \mathbf{t}$$

Decomposição em valores singulares

Decomposição em valores singulares (SVD) da matriz $G = G_{m \times n}$:

$$G = US\bar{V}^T, \quad \bar{U}^T U = \bar{V}^T V = I, \quad S = \begin{bmatrix} \sigma_1 & 0 & 0 & \dots & 0 \\ 0 & \sigma_2 & 0 & \dots & 0 \\ \vdots & & \ddots & & \vdots \\ 0 & & \dots & & \sigma_n \end{bmatrix},$$

$\sigma_1 \geq \sigma_2 \geq \dots \geq \sigma_n \geq 0$: valores singulares.

Vamos utilizar a SVD para resolver as equações normais:

$$S^2 \bar{V}^T s^* = S \bar{U}^T t$$

Se S for inversível (ou seja, $\sigma_1, \dots, \sigma_n > 0$),

$$s^* = V S^{-1} \bar{U}^T t$$

Pseudo-inversa e SVD truncada

SVD:

$$s^* = VS^{-1}\bar{U}^T t, \quad S^{-1} = \begin{bmatrix} 1/\sigma_1 & 0 & 0 & \dots & 0 \\ 0 & 1/\sigma_2 & 0 & \dots & 0 \\ \vdots & & \ddots & & \vdots \\ 0 & & \dots & & 1/\sigma_n \end{bmatrix},$$

$\sigma_1 \geq \sigma_2 \geq \dots \geq \sigma_n \geq 0$: valores singulares.

E se $\sigma_r = 0$, ou seja, $\sigma_r = \sigma_{r+1} = \dots \sigma_n = 0$?

Pseudo-inversa e SVD truncada

SVD:

$$s^* = VS^{-1}\bar{U}^T t, \quad S^{-1} = \begin{bmatrix} 1/\sigma_1 & 0 & 0 & \dots & 0 \\ 0 & 1/\sigma_2 & 0 & \dots & 0 \\ \vdots & & \ddots & & \vdots \\ 0 & & \dots & & 1/\sigma_n \end{bmatrix},$$

E se $\sigma_r = 0$, ou seja, $\sigma_r = \sigma_{r+1} = \dots = \sigma_n = 0$?

Pseudo-inversa:

$$s^+ = VS^+\bar{U}^T t, \quad S^+ = \begin{bmatrix} 1/\sigma_1 & 0 & 0 & \dots & 0 \\ 0 & 1/\sigma_2 & 0 & \dots & 0 \\ & & \ddots & & \\ \vdots & & & 1/\sigma_{r-1} & \vdots \\ & & & 0 & \ddots \\ 0 & & \dots & 0 & 0 \end{bmatrix}$$

Pseudo-inversa e SVD truncada

SVD:

$$\mathbf{s}^* = V S^{-1} \bar{U}^T \mathbf{t}, \quad S^{-1} = \text{diag} \left(\frac{1}{\sigma_1}, \frac{1}{\sigma_2}, \dots, \frac{1}{\sigma_n} \right)$$

Pseudo-inversa:

$$\mathbf{s}^+ = V S^+ \bar{U}^T \mathbf{t}, \quad S^+ = \text{diag} \left(\frac{1}{\sigma_1}, \frac{1}{\sigma_2}, \dots, \frac{1}{\sigma_{r-1}}, 0, \dots, 0 \right)$$

Pseudo-inversa e SVD truncada

SVD:

$$\mathbf{s}^* = \mathbf{V}\mathbf{S}^{-1}\bar{\mathbf{U}}^T\mathbf{t}, \quad \mathbf{S}^{-1} = \text{diag} \left(\frac{1}{\sigma_1}, \frac{1}{\sigma_2}, \dots, \frac{1}{\sigma_n} \right)$$

Pseudo-inversa:

$$\mathbf{s}^+ = \mathbf{V}\mathbf{S}^+\bar{\mathbf{U}}^T\mathbf{t}, \quad \mathbf{S}^+ = \text{diag} \left(\frac{1}{\sigma_1}, \frac{1}{\sigma_2}, \dots, \frac{1}{\sigma_{r-1}}, 0, \dots, 0 \right)$$

Dado $\delta \approx 0$, seja \tilde{r} tal que $\sigma_{\tilde{r}-1} \geq \delta$ e $\sigma_{\tilde{r}} < \delta$.

Pseudo-inversa e SVD truncada

SVD:

$$\mathbf{s}^* = V S^{-1} \bar{U}^T \mathbf{t}, \quad S^{-1} = \text{diag} \left(\frac{1}{\sigma_1}, \frac{1}{\sigma_2}, \dots, \frac{1}{\sigma_n} \right)$$

Pseudo-inversa:

$$\mathbf{s}^+ = V S^+ \bar{U}^T \mathbf{t}, \quad S^+ = \text{diag} \left(\frac{1}{\sigma_1}, \frac{1}{\sigma_2}, \dots, \frac{1}{\sigma_{r-1}}, 0, \dots, 0 \right)$$

Dado $\delta \approx 0$, seja \tilde{r} tal que $\sigma_{\tilde{r}-1} \geq \delta$ e $\sigma_{\tilde{r}} < \delta$.

Pseudo-inversa: $\mathbf{s}^+ = V S^+ \bar{U}^T \mathbf{t}$,

Pseudo-inversa e SVD truncada

SVD:

$$\mathbf{s}^* = V S^{-1} \bar{U}^T \mathbf{t}, \quad S^{-1} = \text{diag} \left(\frac{1}{\sigma_1}, \frac{1}{\sigma_2}, \dots, \frac{1}{\sigma_n} \right)$$

Pseudo-inversa:

$$\mathbf{s}^+ = V S^+ \bar{U}^T \mathbf{t}, \quad S^+ = \text{diag} \left(\frac{1}{\sigma_1}, \frac{1}{\sigma_2}, \dots, \frac{1}{\sigma_{r-1}}, 0, \dots, 0 \right)$$

Dado $\delta \approx 0$, seja \tilde{r} tal que $\sigma_{\tilde{r}-1} \geq \delta$ e $\sigma_{\tilde{r}} < \delta$.

Pseudo-inversa: $\mathbf{s}^+ = V S^+ \bar{U}^T \mathbf{t}$,

$$S^+ = \text{diag} \left(\frac{1}{\sigma_1}, \frac{1}{\sigma_2}, \dots, \frac{1}{\sigma_{\tilde{r}-1}}, \frac{1}{\sigma_{\tilde{r}}}, \frac{1}{\sigma_{\tilde{r}+1}}, \dots, \frac{1}{\sigma_{r-1}}, 0, \dots, 0 \right)$$

Pseudo-inversa e SVD truncada

SVD:

$$\mathbf{s}^* = V S^{-1} \bar{U}^T \mathbf{t}, \quad S^{-1} = \text{diag} \left(\frac{1}{\sigma_1}, \frac{1}{\sigma_2}, \dots, \frac{1}{\sigma_n} \right)$$

Pseudo-inversa:

$$\mathbf{s}^+ = V S^+ \bar{U}^T \mathbf{t}, \quad S^+ = \text{diag} \left(\frac{1}{\sigma_1}, \frac{1}{\sigma_2}, \dots, \frac{1}{\sigma_{r-1}}, 0, \dots, 0 \right)$$

Dado $\delta \approx 0$, seja \tilde{r} tal que $\sigma_{\tilde{r}-1} \geq \delta$ e $\sigma_{\tilde{r}} < \delta$.

Pseudo-inversa: $\mathbf{s}^+ = V S^+ \bar{U}^T \mathbf{t}$,

$$S^+ = \text{diag} \left(\frac{1}{\sigma_1}, \frac{1}{\sigma_2}, \dots, \frac{1}{\sigma_{\tilde{r}-1}}, \frac{1}{\sigma_{\tilde{r}}}, \frac{1}{\sigma_{\tilde{r}+1}}, \dots, \frac{1}{\sigma_{r-1}}, 0, \dots, 0 \right)$$

SVD truncada: $\mathbf{s}_\delta^+ = V \mathbf{S}_\delta^+ \bar{U}^T \mathbf{t}$,

$$\mathbf{S}_\delta^+ = \text{diag} \left(\frac{1}{\sigma_1}, \frac{1}{\sigma_2}, \dots, \frac{1}{\sigma_{\tilde{r}-1}}, 0, 0, \dots, 0, 0, \dots, 0 \right)$$

Sistema regularizado

Regularização de Tikhonov: dado $\lambda > 0$,

$$G_\lambda^T G_\lambda s_\lambda^* = G_\lambda^T t_\lambda, \quad G_\lambda = \begin{bmatrix} G \\ \lambda I_{n \times n} \end{bmatrix}, \quad t_\lambda = \begin{bmatrix} t \\ \mathbf{0} \end{bmatrix}.$$

Sistema regularizado

Regularização de Tikhonov: dado $\lambda > 0$,

$$G_\lambda^T G_\lambda s_\lambda^* = G_\lambda^T t_\lambda, \quad G_\lambda = \begin{bmatrix} G \\ \lambda I_{n \times n} \end{bmatrix}, \quad t_\lambda = \begin{bmatrix} t \\ \mathbf{0} \end{bmatrix}.$$

Pode-se mostrar que $G_\lambda = U_\lambda S_\lambda \bar{V}_\lambda^T$, com $\bar{U}_\lambda^T U_\lambda = \bar{V}_\lambda^T V_\lambda = I$ e

$$S_\lambda = \text{diag} \left(\sqrt{\sigma_1^2 + \lambda^2}, \sqrt{\sigma_2^2 + \lambda^2}, \dots, \sqrt{\sigma_n^2 + \lambda^2} \right)$$

Sistema regularizado

Regularização de Tikhonov: dado $\lambda > 0$,

$$G_\lambda^T G_\lambda \mathbf{s}_\lambda^* = G_\lambda^T \mathbf{t}_\lambda, \quad G_\lambda = \begin{bmatrix} G \\ \lambda I_{n \times n} \end{bmatrix}, \quad \mathbf{t}_\lambda = \begin{bmatrix} \mathbf{t} \\ \mathbf{0} \end{bmatrix}.$$

Pode-se mostrar que $G_\lambda = U_\lambda S_\lambda \bar{V}_\lambda^T$, com $\bar{U}_\lambda^T U_\lambda = \bar{V}_\lambda^T V_\lambda = I$ e

$$S_\lambda = \text{diag} \left(\sqrt{\sigma_1^2 + \lambda^2}, \sqrt{\sigma_2^2 + \lambda^2}, \dots, \sqrt{\sigma_n^2 + \lambda^2} \right)$$

Garantimos assim que os valores singulares são positivos, logo

$$\mathbf{s}_\lambda^* = V_\lambda S_\lambda^{-1} \bar{U}_\lambda^T \mathbf{t}_\lambda$$

Sistema regularizado

Regularização de Tikhonov: dado $\lambda > 0$,

$$G_\lambda^T G_\lambda s_\lambda^* = G_\lambda^T t_\lambda, \quad G_\lambda = \begin{bmatrix} G \\ \lambda I_{n \times n} \end{bmatrix}, \quad t_\lambda = \begin{bmatrix} t \\ \mathbf{0} \end{bmatrix}.$$

Pode-se mostrar que $G_\lambda = U_\lambda S_\lambda \bar{V}_\lambda^T$, com $\bar{U}_\lambda^T U_\lambda = \bar{V}_\lambda^T V_\lambda = I$ e

$$S_\lambda = \text{diag} \left(\sqrt{\sigma_1^2 + \lambda^2}, \sqrt{\sigma_2^2 + \lambda^2}, \dots, \sqrt{\sigma_n^2 + \lambda^2} \right)$$

Garantimos assim que os valores singulares são positivos, logo

$$s_\lambda^* = V_\lambda S_\lambda^{-1} \bar{U}_\lambda^T t_\lambda$$

Pode-se mostrar que $s_\lambda^* = V D \bar{U}^T t$, $D = \text{diag} \left(\frac{\sigma_1}{\sigma_1^2 + \lambda^2}, \dots, \frac{\sigma_n}{\sigma_n^2 + \lambda^2} \right)$

Resumo

SVD:

$$\mathbf{s}^* = V S^{-1} \bar{U}^T \mathbf{t}, \quad S^{-1} = \text{diag} \left(\frac{1}{\sigma_1}, \frac{1}{\sigma_2}, \dots, \frac{1}{\sigma_n} \right)$$

Pseudo-inversa: se $\sigma_i = 0$ para $i \geq r$,

$$\mathbf{s}^+ = V S^+ \bar{U}^T \mathbf{t}, \quad S^+ = \text{diag} \left(\frac{1}{\sigma_1}, \frac{1}{\sigma_2}, \dots, \frac{1}{\sigma_{r-1}}, 0, \dots, 0 \right)$$

SVD truncada: se $\sigma_i < \delta$ para $i \geq \tilde{r}$,

$$\mathbf{s}_\delta^+ = V S_\delta^+ \bar{U}^T \mathbf{t}, \quad S_\delta^+ = \text{diag} \left(\frac{1}{\sigma_1}, \frac{1}{\sigma_2}, \dots, \frac{1}{\sigma_{\tilde{r}-1}}, 0, \dots, 0 \right)$$

Regularização de Tikhonov:

$$\mathbf{s}_\lambda^* = V D \bar{U}^T \mathbf{t}, \quad D = \text{diag} \left(\frac{\sigma_1}{\sigma_1^2 + \lambda^2}, \frac{\sigma_2}{\sigma_2^2 + \lambda^2}, \dots, \frac{\sigma_n}{\sigma_n^2 + \lambda^2} \right)$$

Resumo

SVD:

$$\mathbf{s}^* = V S^{-1} \bar{U}^T \mathbf{t}, \quad S^{-1} = \text{diag} \left(\frac{\sigma_1}{\sigma_1^2}, \frac{\sigma_2}{\sigma_2^2}, \dots, \frac{\sigma_n}{\sigma_n^2} \right)$$

Pseudo-inversa: se $\sigma_i = 0$ para $i \geq r$,

$$\mathbf{s}^+ = V S^+ \bar{U}^T \mathbf{t}, \quad S^+ = \text{diag} \left(\frac{\sigma_1}{\sigma_1^2}, \frac{\sigma_2}{\sigma_2^2}, \dots, \frac{\sigma_{r-1}}{\sigma_{r-1}^2}, 0, \dots, 0 \right)$$

SVD truncada: se $\sigma_i < \delta$ para $i \geq \tilde{r}$,

$$\mathbf{s}_\delta^+ = V S_\delta^+ \bar{U}^T \mathbf{t}, \quad S_\delta^+ = \text{diag} \left(\frac{\sigma_1}{\sigma_1^2}, \frac{\sigma_2}{\sigma_2^2}, \dots, \frac{\sigma_{\tilde{r}-1}}{\sigma_{\tilde{r}-1}^2}, 0, \dots, 0 \right)$$

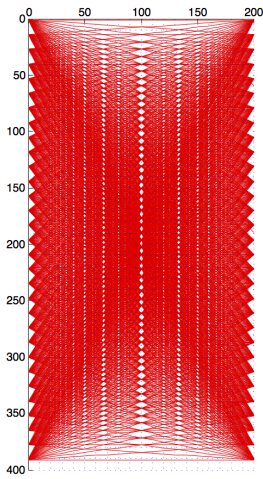
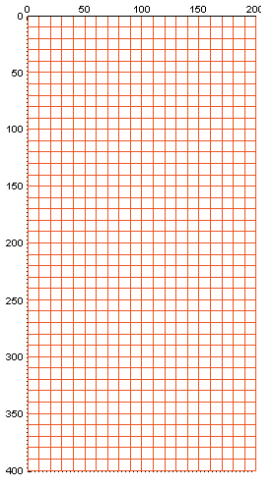
Regularização de Tikhonov:

$$\mathbf{s}_\lambda^* = V D \bar{U}^T \mathbf{t}, \quad D = \text{diag} \left(\frac{\sigma_1}{\sigma_1^2 + \lambda^2}, \frac{\sigma_2}{\sigma_2^2 + \lambda^2}, \dots, \frac{\sigma_n}{\sigma_n^2 + \lambda^2} \right)$$

Exemplo



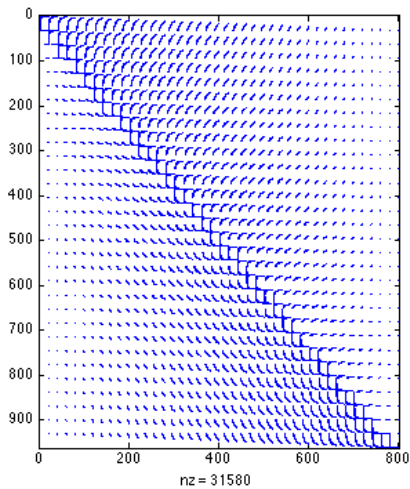
Geometria: 40×20 blocos de tamanho 10×10 (m^2)
31 fontes e 31 receptores



Exemplo



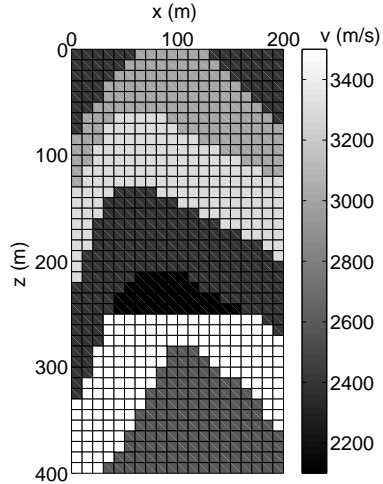
Esparsidade da matriz G ($31580/720000 \approx 0.04$)



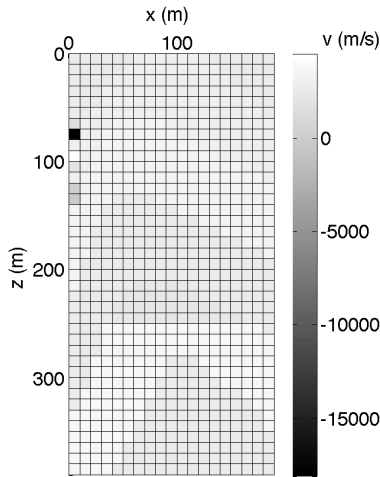
Exemplo



Os tempos de trânsitos são obtidos do seguinte modelo:

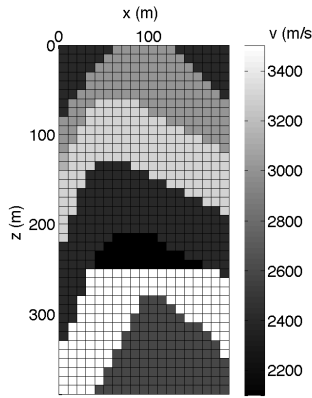


Resultados / pseudo-inversa

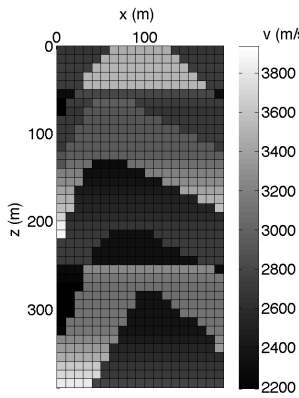


Erro relativo: 109.22%

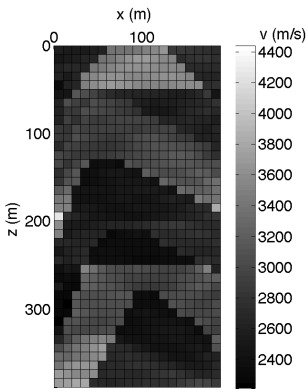
Resultados / SVD truncada



$$\delta = 10^{-13}$$



$$\delta = 10^{-4}$$

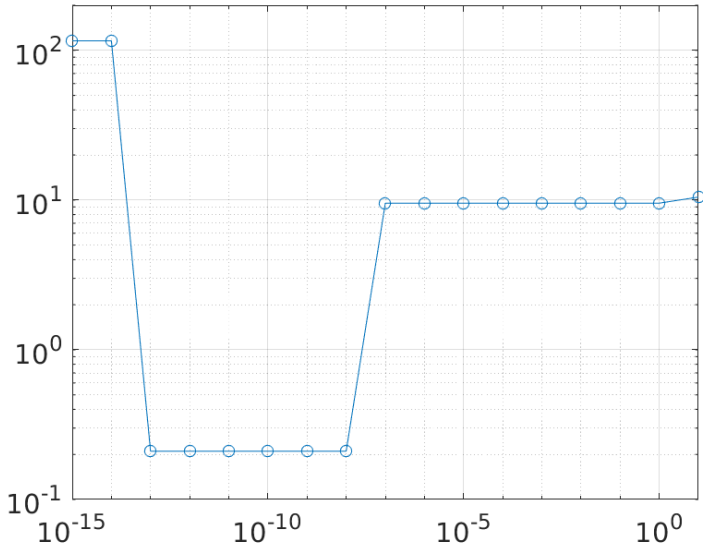


$$\delta = 10^1$$

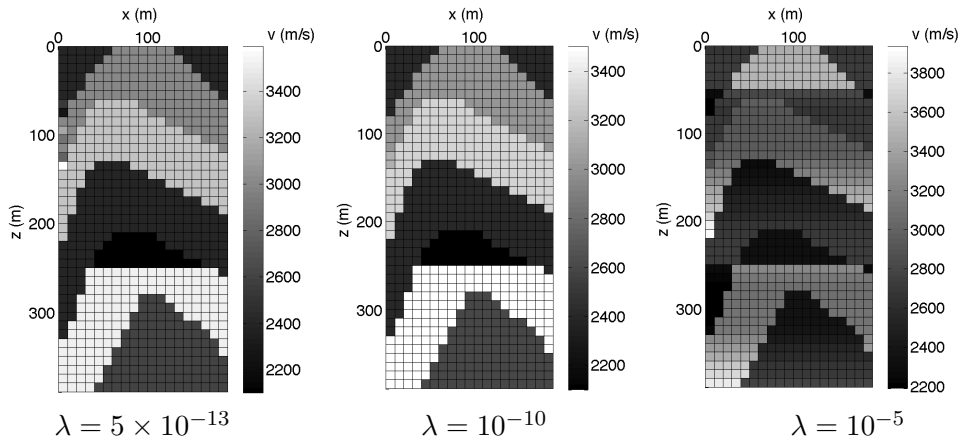
Resultados / SVD truncada



Erro relativo



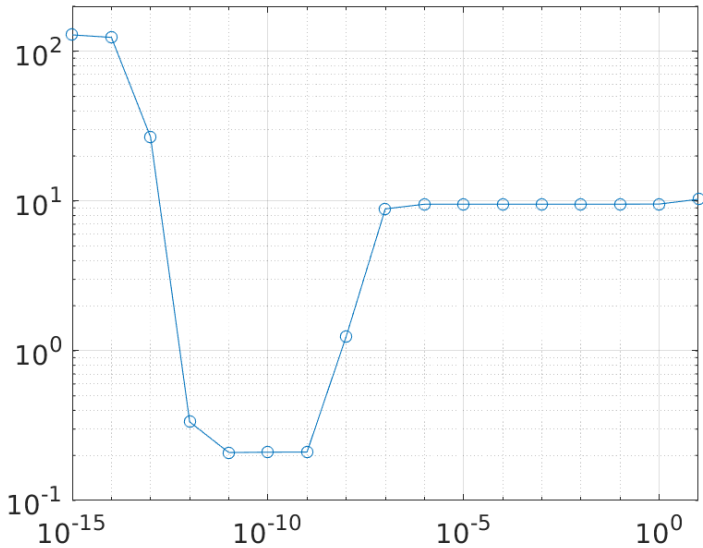
Resultados / SVD regularizada



Resultados / SVD regularizada



Erro relativo



Gradientes conjugados



Método de gradientes conjugados para o sistema linear $Ax = b$

$$\mathbf{r}_0 \leftarrow \mathbf{b} - A\mathbf{x}_0;$$

$$\mathbf{p}_0 \leftarrow \mathbf{r}_0;$$

Repita

$$\alpha_k \leftarrow \frac{\mathbf{p}_k^T \mathbf{r}_k}{\mathbf{p}_k^T A \mathbf{p}_k};$$

$$\mathbf{x}_{k+1} \leftarrow \mathbf{x}_k + \alpha_k \mathbf{p}_k;$$

$$\mathbf{r}_{k+1} \leftarrow \mathbf{r}_k - \alpha_k A \mathbf{p}_k;$$

$$\beta_k \leftarrow \frac{\mathbf{r}_{k+1}^T \mathbf{r}_{k+1}}{\mathbf{r}_k^T \mathbf{r}_k};$$

$$\mathbf{p}_{k+1} \leftarrow \mathbf{r}_{k+1} + \beta_k \mathbf{p}_k;$$

Até que $\|\mathbf{r}_k\| = \|\mathbf{b} - A\mathbf{x}_k\| \leq tol$

Gradientes conjugados



Para o sistema $A^T A x = A^T b$, com $A^T A$ inversível,

$$\mathbf{r}_0 \leftarrow \mathbf{b} - A\mathbf{x}_0;$$

$$\mathbf{z}_0 \leftarrow A^T \mathbf{r}_0;$$

$$\mathbf{p}_0 \leftarrow \mathbf{z}_0;$$

Repita

$$\mathbf{w}_k \leftarrow A\mathbf{p}_k;$$

$$\alpha_k \leftarrow \frac{\mathbf{z}_k^T \mathbf{z}_k}{\mathbf{w}_k^T \mathbf{w}_k};$$

$$\mathbf{x}_{k+1} \leftarrow \mathbf{x}_k + \alpha_k \mathbf{p}_k;$$

$$\mathbf{r}_{k+1} \leftarrow \mathbf{r}_k - \alpha_k \mathbf{w}_k;$$

$$\mathbf{z}_{k+1} \leftarrow A^T \mathbf{r}_{k+1}$$

$$\beta_k \leftarrow \frac{\mathbf{z}_{k+1}^T \mathbf{z}_{k+1}}{\mathbf{z}_k^T \mathbf{z}_k};$$

$$\mathbf{p}_{k+1} \leftarrow \mathbf{z}_{k+1} + \beta_k \mathbf{p}_k;$$

Até que $\|\mathbf{b} - A\mathbf{x}_k\| \leq tol$

Gradientes conjugados



Em particular, seja $A = G_\lambda = [G; \lambda I]$ e $\mathbf{b} = t_\lambda$:

$$\mathbf{r}_0 \leftarrow \mathbf{t}_\lambda - G_\lambda \mathbf{s}_0;$$

$$\mathbf{z}_0 \leftarrow G_\lambda^T \mathbf{r}_0;$$

$$\mathbf{p}_0 \leftarrow \mathbf{z}_0;$$

Repita

$$\mathbf{w}_k \leftarrow G_\lambda \mathbf{p}_k;$$

$$\alpha_k \leftarrow \frac{\mathbf{z}_k^T \mathbf{z}_k}{\mathbf{w}_k^T \mathbf{w}_k};$$

$$\mathbf{s}_{k+1} \leftarrow \mathbf{s}_k + \alpha_k \mathbf{p}_k;$$

$$\mathbf{r}_{k+1} \leftarrow \mathbf{r}_k - \alpha_k \mathbf{w}_k;$$

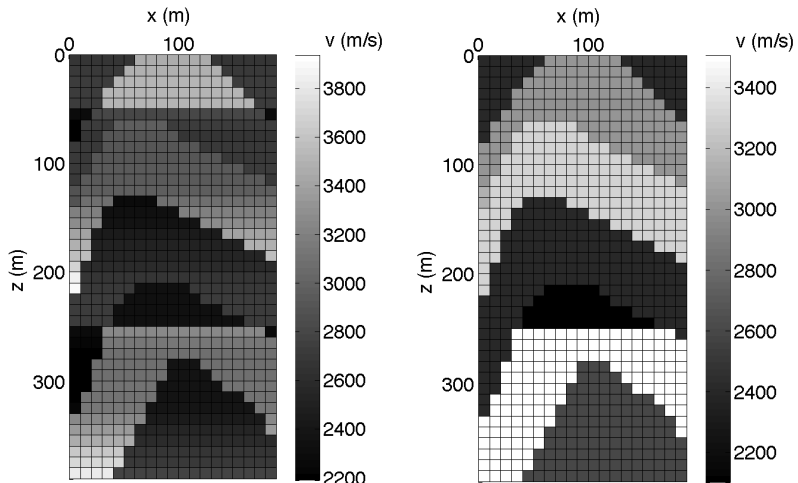
$$\mathbf{z}_{k+1} \leftarrow G_\lambda^T \mathbf{r}_{k+1}$$

$$\beta_k \leftarrow \frac{\mathbf{z}_{k+1}^T \mathbf{z}_{k+1}}{\mathbf{z}_k^T \mathbf{z}_k};$$

$$\mathbf{p}_{k+1} \leftarrow \mathbf{z}_{k+1} + \beta_k \mathbf{p}_k;$$

Até que $\|\mathbf{t}_\lambda - G_\lambda \mathbf{s}_k\| \leq tol$

Resultados / Gradientes conjugados



Erro relativo ($\lambda = 10^{-10}$): 9.54% (1666 iter) e 0.21% (32000 iter)